

膝骨关节炎脂肪垫对关节软骨细胞的影响

瞿燕萍,高明霞,夏鹏,张婷婷,程凯,林强,李雪萍

【摘要】 目的:观察人膝骨关节炎(OA)脂肪垫对正常及 OA 关节软骨细胞的影响。方法:24 例人膝脂肪垫和膝关节软骨均由骨科手术室提供,12 例为膝关节急性外伤手术患者,12 例为膝 OA 患者行关节置换术后。切取正常及 OA 膝脂肪垫行苏木精-伊红染色(HE)及瘦素免疫组织化学染色;用 OA 膝脂肪垫制作脂肪垫培养液(FCM);于急性膝外伤手术标本的表面完整处提取正常软骨细胞,于膝 OA 关节置换术标本提取 OA 软骨细胞,分别进行体外培养并鉴定,随机分成正常组、OA 组、正常+FCM 组及 OA+FCM 组,其中正常组和 OA 组均加入完全高糖培养基,正常+FCM 组和 OA+FCM 组均加入 FCM,对各组细胞进行形态学观察,于第 14 天将各组软骨细胞予 II 型胶原(COL2)免疫组化染色及油红 O 染色,同时应用 Western blot 技术检测各组软骨细胞中 COL2、聚蛋白多糖(Acan)和基质金属蛋白酶(MMP-13)的表达情况。结果:①COL2 免疫组化染色:OA 组软骨细胞内的 COL2 免疫组化染色平均吸光度比正常组显著降低($P<0.05$)。与 OA 组相比,正常+FCM 组软骨细胞内的 COL2 免疫组化染色平均吸光度无明显差异,而 OA+FCM 组显著降低($P<0.05$)。与正常+FCM 组相比,OA+FCM 组软骨细胞内的 COL2 免疫组化染色平均吸光度显著降低($P<0.05$)。②油红 O 染色:OA 组软骨细胞内的油红 O 染色平均吸光度与正常组相比差异无统计学意义。与 OA 组相比,正常+FCM 组和 OA+FCM 组软骨细胞内的油红 O 染色平均吸光度均有增高($P<0.05$),但 OA+FCM 组增高更为显著($P<0.05$)。③Western blot 结果:OA 组 COL2、Acan 的表达水平低于正常组($P<0.05$),而 MMP-13 的表达高于正常组($P<0.05$)。与 OA 组相比,正常+FCM 组 COL2、Acan 和 MMP-13 的表达水平无明显差异;相较于正常组及正常+FCM 组,OA+FCM 组 COL2、Acan 的表达水平降低($P<0.05$),而 MMP-13 的表达水平增高($P<0.05$)。结论:OA 膝 FCM 能使正常及 OA 软骨细胞形态上发生脂肪样变,并通过代谢途径提高软骨细胞 MMP-13 的表达,加速软骨细胞 COL2、Acan 的降解,且对 OA 软骨细胞的破坏更为显著。

【关键词】 膝骨关节炎;软骨细胞;髌下脂肪垫

【中图分类号】 R49;R684 **【DOI】** 10.3870/zgkf.2017.03.001

Effect of knee infrapatellar fat pad on articular chondrocytes in osteoarthritis Qu Yanping, Gao Mingxia, Xia Peng, et al. Department of Rehabilitation Medicine, Nanjing First Hospital, Nanjing Medical University, Nanjing 210006, China

【Abstract】 Objective: To observe the effect of human knee infrapatellar fat pad with osteoarthritis (OA) on normal and chondrocytes. **Methods:** Twenty-four cases of human knee infrapatellar fat pads and cartilages were provided by orthopedics operating room, including 12 cases of acute knee injury, and 12 cases of OA undergoing knee joint replacement. The fat pads were cut and stained with hematoxylin-eosin (HE) staining, and subjected to immunohistochemical staining with leptin. The OA fat pads were used to prepare fat conditioned medium (FCM). The normal chondrocytes were isolated from the integrate specimens of acute knee injury. The OA chondrocytes were isolated from the knee joint cartilage in OA. The cells were cultured and identified *in vitro*, and were randomly divided into four groups: normal chondrocytes group, OA chondrocytes group, normal chondrocytes + FCM group, OA chondrocytes + FCM group. The normal chondrocytes group and OA chondrocytes group were added with full Dulbeco's Modified Eagle's Medium (DMEM) medium, and the normal chondrocytes + FCM group and OA chondrocytes + FCM group were added with FCM. Each group was observed under a microscope. Cells were stained with type II collagen (COL2) immunohistochemical staining and oil red O staining after 14 days. Western blotting was used to examine the expression of

基金项目:国家自然科学基金(81272151);南京市医学科技发展基金项目(YKK13113)

收稿日期:2016-11-21

作者单位:南京医科大学附属南京医院(南京市第一医院)康复医学科,南京 210006

作者简介:瞿燕萍(1990-),女,硕士生在读,主要从事骨关节康复方面的研究。

通讯作者:李雪萍,lixueping6504@163.com

Western blotting was used to examine the expression of

COL2, aggrecan, and MMP-13. **Results:** (1) COL2 immunohistochemical staining: The average absorbance of COL2 immunohistochemical staining in OA group was significantly lower than that in the normal group ($P < 0.05$). As compared with OA group, the average absorbance of COL2 immunohistochemical staining showed no significant difference between OA group and normal + FCM group ($P > 0.05$), and that in OA + FCM group was significantly lower than in OA group ($P < 0.05$). As compared with normal + FCM group, the average absorbance of COL2 immunohistochemical staining in OA + FCM group was significantly decreased ($P < 0.05$). (2) Oil red O staining: The average absorbance of oil red O staining showed no significant difference between OA group and normal group ($P > 0.05$). As compared with OA group, the average absorbance of oil red O staining in normal + FCM group and OA + FCM group was significantly increased, with more significant increase in OA + FCM group ($P < 0.05$). (3) Western blotting showed that the expression of COL2 and aggrecan in the OA chondrocytes group was significantly lower than that in the normal chondrocytes group ($P < 0.05$), but the expression of MMP-13 was significantly higher in the OA chondrocytes group than in the normal chondrocytes group ($P < 0.05$). There was no significant difference in levels of type II collagen, aggrecan and MMP-13 between OA chondrocytes group and normal chondrocytes + FCM group ($P < 0.05$). As compared with normal group and normal + FCM group, the expression of type II collagen and aggrecan in OA chondrocytes + FCM group was significantly reduced ($P < 0.05$), but the expression of MMP-13 was significantly increased ($P < 0.05$). **Conclusions:** FCM of OA can induce fatty degeneration of the normal and OA chondrocytes, and it also increases the expression of MMP-13 and decreases the expression of COL2 and aggrecan in chondrocytes through metabolic pathway. Moreover, the damage in OA chondrocytes is more significant.

【Key words】 osteoarthritis; chondrocytes; infrapatellar fat pad

脂肪组织不仅是能量储存器官,还是重要的内分泌器官,它可分泌多种脂肪因子和细胞因子调控全身代谢以维持机体健康^[1]。由过多的脂肪组织堆积而成的肥胖可引起多种疾病,如2型糖尿病、高血压病、血脂异常和骨代谢性疾病,后者包括骨质疏松症和骨关节炎(Osteoarthritis, OA)^[2]。OA是一种以关节软骨退变,骨赘形成,滑膜炎症及软骨下骨硬化为特征的退行性关节疾病^[3]。OA是最常见的风湿性疾病和身体残疾的主要原因,可严重降低中老年人群的生活质量,并且随着社会人口老龄化、肥胖以及久坐等危险因素的增加,OA的发病率逐年升高^[4]。研究表明由脂肪组织分泌的脂肪因子作用于关节软骨组织可促进关节炎症、抑制软骨基质合成及刺激软骨下骨重塑^[5-7],还可通过上调和活化蛋白水解酶对软骨代谢起促分解作用^[8-9]。脂肪因子包括瘦素、脂联素、抵抗素以及内脂素等,其中,瘦素是最早被发现且为目前研究最多的脂肪因子,它可抑制食物摄入以及刺激能量消耗,并参与调节免疫反应和炎性疾病^[10-11]。研究表明,脂肪因子在OA的发生及发展中起重要作用^[12-13]。膝下脂肪垫(Infrapatellar Fat Pad, IPFP)是膝关节囊内滑膜外与软骨相邻的脂肪组织,是膝关节局部脂质和脂肪因子的来源,研究证明与IPFP有关的代谢作用可引起或加重软骨损害以及关节炎症和疼痛,此外,IPFP分泌的脂肪因子还能刺激滑膜中促炎性细胞因子和蛋白水解酶的表达^[6, 14]。本研究通过制作OA膝脂肪垫培养液(Fat Conditioned Medium, FCM)并与正常及

OA软骨细胞共培养,观察FCM对正常及OA软骨细胞的影响,旨在探讨OA膝脂肪垫对关节软骨的作用。

1 材料与方法

1.1 材料 2015年10月~2016年7月收集的24例膝软骨和膝脂肪垫均由骨科手术室提供,12例为女性膝关节急性外伤手术患者,12例为女性膝OA患者行关节置换术后,均排除其他膝关节病史,年龄均在40~55岁之间。所有实验方案均得到南京医科大学附属南京医院伦理委员会批准。主要器材及试剂包括胎牛血清、II型胶原酶(Gibco公司),胰蛋白酶、高糖不完全达尔伯克改良伊格尔培养基(Dulbecco's Modified Eagle's Medium, DMEM)、全蛋白提取试剂盒、免疫组化试剂盒、油红染料(南京凯基生物有限公司),瘦素抗体(武汉博士德生物工程研究所),II型胶原(Type II Collagen, COL2)抗体、聚蛋白多糖(Aggregan, Acan)抗体、基质金属蛋白酶(Matrix metalloproteinase, MMP)-13抗体(Abcam公司),Western电泳仪(Bio-Rad,美国,型号164-5051),电泳仪及湿式电转移槽(美国Bio-Rad公司)。

1.2 方法 ①膝脂肪垫HE染色:将正常及OA膝脂肪垫浸入福尔马林溶液,经苏木精-伊红染色,进行病理分析。②瘦素免疫组化染色:将正常及OA膝脂肪垫分别制作石蜡切片,做免疫组织化学染色,即用型山羊血清,瘦素抗体(1:100稀释),加酶标二抗,DAB溶液显色,玻片在光学显微镜下观察组织中瘦素蛋白

的表达情况。③制作 FCM^[15]:将 OA 膝脂肪垫用 PBS 液冲洗 2~3 遍,去除纤维结缔组织及血管,剪切至小碎块大约 50mg,再用 PBS 液冲洗 2 遍及无血清的高糖 DMEM 培养基冲洗 1 遍。加入完全高糖 DMEM 培养基(含 5%胎牛血清+链霉素 100 μ g/ml+青霉素 100IU/ml)置于 37 $^{\circ}$ C 恒温箱中 24h,随后替换为无血清的高糖 DMEM 培养基(1ml/0.3g 脂肪组织)于 37 $^{\circ}$ C 恒温箱中 72h。最后用 200 目分子筛过滤脂肪垫并收集培养液,置于 -80 $^{\circ}$ C 备用。④软骨细胞分离与培养:于急性外伤手术标本的表面完整处提取正常软骨细胞,于 OA 膝关节置换术标本提取 OA 软骨细胞。将膝软骨用 PBS 液冲洗并剪切至 1.0mm³ 的小碎片,移入 15ml 离心管并加入 2ml 0.25%胰蛋白酶消化 30min,再加入 3ml 0.25% II 型胶原(Type II Collagen, COL2)酶,于 37 $^{\circ}$ C 恒温箱中消化 4h,每半小时振荡一次,加入 3ml 培养基终止消化,予 1200rpm/min 离心 10min,弃上清,加入完全高糖 DMEM 培养基(含 10%的胎牛血清)吹打均匀后种植于培养瓶内,置于 5%CO₂、95%空气 37 $^{\circ}$ C 恒温培养箱中。每天用光学显微镜观察细胞生长情况,待细胞铺满瓶底 80%~90%时传代。⑤实验分组与干预:将第 2 代正常软骨细胞采用随机数字法分为正常组和正常+FCM 培养组,第 2 代 OA 软骨细胞采用随机数字法分为 OA 组和 OA+FCM 培养组,其中在正常组和 OA 组中加入完全高糖 DMEM 培养基,在正常+FCM 培养组和 OA+FCM 培养组中加入 FCM,每天于显微镜下观察,第 14 天将各组细胞予 COL2 免疫组化染色及油红 O 染色,并收集各组细胞予 Western blot 检测。⑥COL2 免疫组化染色:将爬有细胞的盖玻片用 4%的多聚甲醛固定 15min,COL2 抗体(1:100 稀释),具体实验步骤参考瘦素免疫组织化学染色。光学显微镜下可见软骨细胞胞核深染,胞质为大量 COL2 染色,呈棕色。⑦油红 O 染色:将软骨细胞用 PBS 冲洗 2 次,10%的福尔马林固定 15min,60%的异丙醇漂洗 30s,PBS 冲洗 2 次,油红 O 染色 2h,倾去染液,流水冲洗,苏木精染色 1min,倾去苏木精,流水冲洗,中性树胶+盖玻片固定,脂滴被油红染成橘红色,细胞核被苏木精染成蓝色。⑧免疫印迹法检测(Western blot):采用聚丙烯酰胺凝胶电泳,湿式转移电泳槽转膜,聚偏二氟乙烯膜在 5%的牛血清白蛋白中常温震荡封闭 2h,分别加 II 型胶原(Type II Collagen, COL2)抗体、聚蛋白多糖(Aggrecan, Acan)抗体、基质金属蛋白酶(Matrix Metalloproteinases, MMP)-13 抗体和磷酸甘油醛脱氢酶(Glyceraldehyde-3-Phosphate Dehydrogenase, GAPDH)抗体(1:1000

稀释),4 $^{\circ}$ C 孵育过夜,加二抗,常温孵育 2h,加显影液,采用机器曝光。Image pro plus 6.0 图像分析软件对各组蛋白电泳条带行 COL2、Acan、MMP-13、GAPDH 的灰度分析。

1.3 统计学方法 采用 SPSS 20.0 统计软件进行分析。计量资料用 $\bar{x} \pm s$ 表示,组内均数比较采用配对样本 *t* 检验,组间均数比较采用单因素方差分析,以 $P < 0.05$ 为差异有统计学意义。

2 结果

2.1 脂肪垫组织病理学 正常膝脂肪垫内可见大量呈空泡状的脂肪细胞(放大 400 倍),彼此相连,见图 1a;OA 膝脂肪垫内亦可见大量脂肪细胞,脂肪细胞间质有较多巨噬细胞、淋巴细胞和浆细胞等炎性细胞浸润,呈蓝色颗粒,见图 1b。

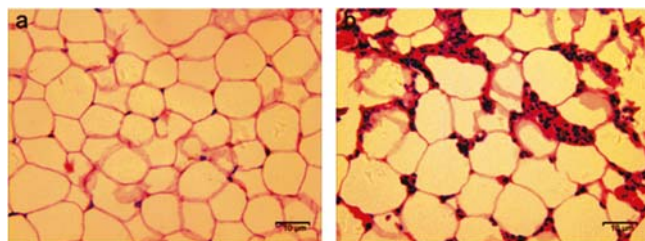


图 1 膝脂肪垫 HE 染色($\times 400$)

注:a.正常膝脂肪垫;b.OA 膝脂肪垫

2.2 瘦素免疫组织化学染色 正常膝脂肪垫瘦素免疫组织化学染色呈阳性反应(0.63 ± 0.02),见图 2a;OA 膝脂肪垫瘦素免疫反应较正常组增多(0.71 ± 0.02),见图 2b。

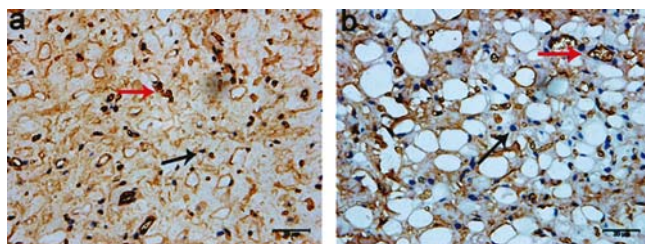


图 2 正常及 OA 膝脂肪垫瘦素免疫组织化学染色($\times 200$)

注:a.正常膝脂肪垫;b.OA 膝脂肪垫;图中黑色箭头示脂肪细胞核,红色箭头示瘦素阳性

2.3 COL2 免疫组织化学染色 OA 组软骨细胞内的 COL2 免疫组化染色平均吸光度比正常组显著降低($P < 0.05$)。与 OA 组相比,正常+FCM 组软骨细胞内的 COL2 免疫组化染色平均吸光度无明显差异($P > 0.05$),而 OA+FCM 组显著降低($P < 0.05$)。与正常+FCM 组相比,OA+FCM 组软骨细胞内的 COL2 免疫组化染色平均吸光度显著降低($P < 0.05$)。见表 1,图 3。

2.4 油红 O 染色 OA 组软骨细胞内的油红 O 染色

平均吸光度与正常组相比差异无统计学意义。与 OA 组相比,正常+FCM 组和 OA+FCM 组软骨细胞内的油红 O 染色平均吸光度均有增高,但 OA+FCM 组增高更为显著($P<0.05$)。见表 1,图 4。

表 1 4 组软骨细胞 COL2 免疫组化染色及油红 O 染色平均吸光度比较 $\bar{x}\pm s$

组别	n	COL2	油红 O
正常组	6	0.34±0.03	0.43±0.02
OA 组	6	0.22±0.02 ^a	0.41±0.03
正常+FCM 组	6	0.24±0.02	0.57±0.02 ^b
OA+FCM 组	6	0.18±0.01 ^{bc}	0.62±0.01 ^{bc}

与正常组比较,^a $P<0.05$;与 OA 组比较,^b $P<0.05$;与正常+FCM 组相比,^c $P<0.05$

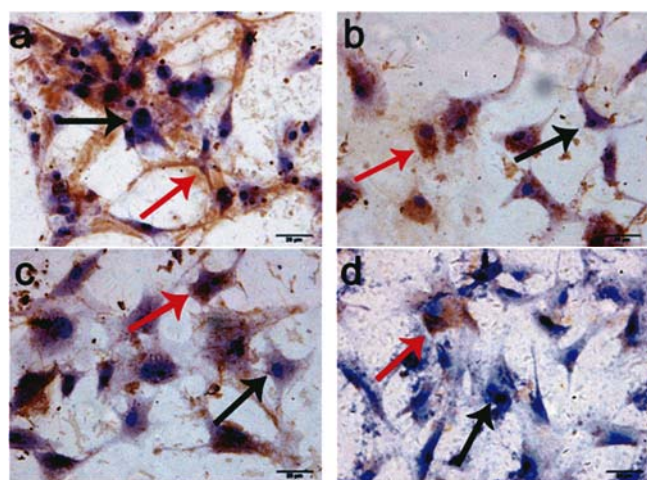


图 3 4 组软骨细胞 COL2 免疫组化染色($\times 200$)

注:a.正常组;b.OA组;c.正常+FCM组;d.OA+FCM组;图中黑色箭头示软骨细胞核,红色箭头示 COL2 免疫组化染色阳性

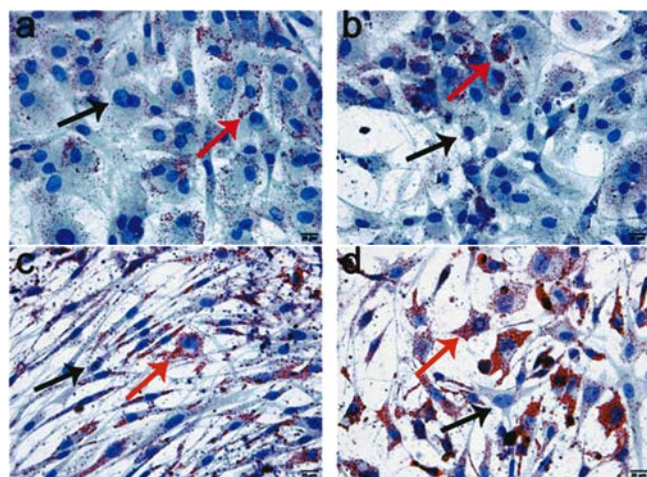


图 4 4 组软骨细胞油红 O 染色($\times 200$)

注:a.正常组;b.OA组;c.正常+FCM组;d.OA+FCM组;图中黑色箭头示软骨细胞核,红色箭头示细胞内油红 O 染色阳性

2.5 各组软骨细胞中 COL2、Acan 和 MMP-13 蛋白 Western 检测表达水平比较 OA 组 COL2、Acan 的表达水平低于正常组($P<0.05$),而 MMP-13 的表达高于正常组($P<0.05$)。与 OA 组相比,正常+FCM

组 3 种蛋白的表达水平均无明显差别;相较于正常组及正常+FCM 组,OA+FCM 组 COL2、Acan 表达水平降低(均 $P<0.05$),而 MMP-13 的表达水平增高(均 $P<0.05$),见表 2,图 5。

表 2 各组软骨细胞各目标蛋白 Western blot 检测灰度比较 $\bar{x}\pm s$

组别	n	COL2	Acan	MMP-13
正常组	6	0.49±0.03	0.63±0.04	0.05±0.01
OA 组	6	0.28±0.06 ^a	0.26±0.05 ^a	0.34±0.05 ^a
正常+FCM 组	6	0.24±0.09	0.24±0.06	0.31±0.08
OA+FCM 组	6	0.07±0.04 ^{bc}	0.10±0.03 ^{bc}	0.45±0.03 ^{bc}

与正常组比较,^a $P<0.05$;与 OA 组比较,^b $P<0.05$;与正常+FCM 组相比,^c $P<0.05$

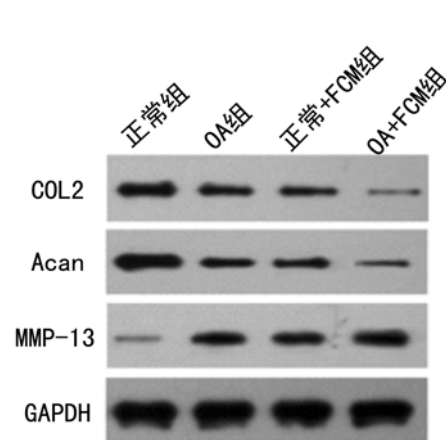


图 5 4 组软骨细胞各目标蛋白电泳图

3 讨论

关节软骨是由少量软骨细胞和大量细胞外基质组成。软骨细胞是软骨组织内唯一的细胞类型,其细胞形态、增殖能力及分泌 COL2 的量可反映软骨细胞的活性^[16]。细胞外基质主要由软骨细胞分泌,包括胶原(主要为 COL2)和 Acan,其中 COL2 占细胞外基质总量的 80%~90%,是软骨细胞的特征性指标。COL2 可形成纤维网络结构使软骨具有抗张强度,Acan 主要保持软骨的弹性和黏度,其中 COL2 的降解是不可逆的^[17],由此可见 COL2 和 Acan 在维持软骨的完整与功能中起重要作用。

近年来,越来越多的研究将脂肪组织与软骨退行性变联系在一起^[18-19]。实验证明,采用高脂饮食诱导的肥胖小鼠,其膝软骨损伤水平与机械应力引起的软骨损伤相似^[20],并且通过饮食诱导的肥胖还可显著增加小鼠创伤后关节炎的严重程度^[21]。由此可见,脂肪组织可通过代谢途径对软骨产生破坏作用。脂肪组织主要由脂肪细胞构成,其细胞间质有炎性细胞浸润如巨噬细胞、淋巴细胞和浆细胞等^[22]。脂肪细胞可分泌众多脂肪因子包括瘦素、脂联素、内脂素和抵抗素等,

脂肪因子能以自分泌或旁分泌双重方式刺激软骨细胞。

在软骨细胞中,瘦素通过结合软骨细胞表面瘦素受体活化细胞内促分裂原活化蛋白激酶(Mitogen Activated Protein Kinase, MAPK)信号通路,进而促进软骨细胞 MMP-13 的表达以及诱导软骨胶原释放,对软骨基质代谢起促分解作用^[23],MMPs 是降解细胞外基质最重要的蛋白水解系统,其中 MMP-13 是 COL2 最有效地蛋白水解酶^[24]。OA 软骨的显著受损区域相比未受损区域可表达更多的瘦素受体,并且瘦素在 OA 滑膜液中的表达水平显著高于血清^[25]。膝脂肪垫是位于膝关节囊内、滑膜外并与软骨相邻的脂肪组织,是膝关节脂肪因子的局部来源,研究指出脂肪垫分泌的脂肪因子脂联素和内脂素显著高于皮下脂肪组织^[26],并且随着年龄或体重指数的增加,脂肪垫内的脂肪细胞和浸润的淋巴细胞数量会增多,增多的脂肪细胞将进一步提高膝关节内脂肪因子的水平^[27-29]。此外,实验证明 OA 患者的脂肪垫相比正常脂肪垫可分泌更多的脂肪因子^[30-31],OA 患者的脂肪垫相比其皮下脂肪可产生更多的炎症细胞^[32],并且晚期 OA 患者的脂肪垫相比早期 OA 患者的脂肪垫可表达更多的炎症因子^[33]。由此可见,脂肪垫作为膝关节组织的一部分可以调节膝关节炎症和软骨降解反应。

本研究通过将正常膝脂肪垫与 OA 膝脂肪垫行 HE 染色提示 OA 脂肪垫可产生更多的炎症细胞,并将正常膝脂肪垫与 OA 膝脂肪垫行瘦素免疫组织化学染色提示 OA 脂肪垫呈现更多的瘦素免疫反应物,由此可见,OA 脂肪垫可表达更多的炎症因子,第 2 代正常软骨细胞生长快,而第 2 代 OA 软骨细胞生长速度较慢,并且油红 O 染色结果显示正常及 OA 软骨细胞内均呈现少量脂质成分,脂滴呈橘红色,2 组间的平均吸光度无明显差异($P>0.05$)。加入 FCM 后发现,正常+FCM 培养组软骨细胞以多边形为主,其中夹杂不少树突样细胞,生长速度慢,并且细胞内出现少量大小不一的透明空泡,随着时间的增加,空泡数量也逐渐增多,此时软骨细胞仍为多边形或星形,经油红 O 染色后细胞内出现较多红染颗粒,证明镜下所见细胞内的透明空泡为脂滴,正常+FCM 培养组的油红 O 染色平均吸光度比 OA 组显著增高($P<0.05$),提示 FCM 培养下的正常软骨细胞内脂滴含量增多,软骨细胞发生脂肪样变。OA+FCM 培养组软骨细胞主要呈树突样,生长速度缓慢,镜下细胞内呈现大量透明空泡,经油红 O 染色后细胞内出现大量红染颗粒,其平均吸光度比正常+FCM 组显著增高($P<0.05$),说明 FCM 培养下的 OA 软骨细胞脂滴明显增加,OA+FCM 培

养组软骨细胞发生脂肪样变较正常+FCM 培养组软骨细胞更严重,进一步证明 OA 膝脂肪垫能对软骨细胞产生破坏作用,而对 OA 软骨细胞的破坏更严重。

由 COL2 免疫组化结果可见,OA 脂肪垫通过分泌脂肪因子对软骨细胞基质代谢起促分解作用,结合上述油红 O 染色结果进一步证实了 OA 脂肪垫能对软骨产生破坏作用。本研究进一步通过 Western Blot 检测证明脂肪因子在软骨退行性变过程中可通过代谢途径提高软骨细胞 MMP-13 的表达进而促进软骨细胞外基质的降解,最终引起软骨损伤。

该实验的创新性表现在,通过将 OA 膝脂肪垫培养液与正常及 OA 软骨细胞共培养证明脂肪因子对软骨细胞产生破坏作用,并且对 OA 软骨细胞产生更大的破坏作用。此外,本实验首次证明与 OA 膝脂肪垫培养液共培养的正常及 OA 软骨细胞可发生脂肪样变,并且 OA 软骨细胞发生脂肪样变更为显著。然而,为何软骨细胞会在与脂肪垫培养液共培养的状态下会发生脂肪样变,需要未来进一步的实验探讨。

【参考文献】

- [1] Booth A, Magnuson A, Fouts J, et al. Adipose tissue: an endocrine organ playing a role in metabolic regulation[J]. *Horm Mol Biol Clin Investig*, 2016, 26(1): 25-42.
- [2] Lee R, Kean WF. Obesity and knee osteoarthritis[J]. *Inflammopharmacology*, 2012, 20(2): 53-58.
- [3] Xia P, Shen S, Lin Q, et al. Low-Intensity Pulsed Ultrasound Treatment at an Early Osteoarthritis Stage Protects Rabbit Cartilage From Damage via the Integrin/Focal Adhesion Kinase/Mitogen-Activated Protein Kinase Signaling Pathway[J]. *J Ultrasound Med*, 2015, 34(11): 1991-1999.
- [4] Sartori-Cintra AR, Aikawa P, Cintra DE. Obesity versus osteoarthritis: beyond the mechanical overload[J]. *Einstein (Sao Paulo)*, 2014, 12(3): 374-379.
- [5] Iannone F, Lapadula G. Obesity and inflammation—targets for OA therapy[J]. *Curr Drug Targets*, 2010, 11(5): 586-598.
- [6] Santangelo KS, Radakovich LB, Fouts J, et al. Pathophysiology of obesity on knee joint homeostasis: contributions of the infrapatellar fat pad[J]. *Horm Mol Biol Clin Investig*, 2016, 26(2): 97-108.
- [7] Sellam J, Berenbaum F. Is osteoarthritis a metabolic disease[J]? *Joint Bone Spine*, 2013, 80(6): 568-573.
- [8] Gomez R, Lago F, Gomez-Reino J, et al. Adipokines in the skeleton: influence on cartilage function and joint degenerative diseases[J]. *J Mol Endocrinol*, 2009, 43(1): 11-18.
- [9] Yaykasli KO, Hatipoglu OF, Yaykasli E, et al. Leptin induces ADAMTS-4, ADAMTS-5, and ADAMTS-9 genes expression by mitogen-activated protein kinases and NF- κ B signaling pathways in human chondrocytes[J]. *Cell Biol Int*, 2015, 39(1): 104-112.
- [10] Matarese G. Leptin and the immune system: how nutritional status influences the immune response[J]. *Eur Cytokine Netw*,

- 2000, 11(1): 7-14.
- [11] Lam QL, Lu L. Role of leptin in immunity[J]. *Cell Mol Immunol*, 2007, 4(1): 1-13.
- [12] Koskinen A, Juslin S, Nieminen R, et al. Adiponectin associates with markers of cartilage degradation in osteoarthritis and induces production of proinflammatory and catabolic factors through mitogen-activated protein kinase pathways[J]. *Arthritis Res Ther*, 2011, 13(6): R184-R184.
- [13] Gomez R, Lago F, Gomez-Reino J, et al. Adipokines in the skeleton: influence on cartilage function and joint degenerative diseases[J]. *J Mol Endocrinol*, 2009, 43(1): 11-18.
- [14] Clockaerts S, Bastiaansen-Jenniskens YM, Runhaar J, et al. The infrapatellar fat pad should be considered as an active osteoarthritic joint tissue: a narrative review[J]. *Osteoarthritis Cartilage*, 2010, 18(7): 876-882.
- [15] Hui W, Litherland GJ, Elias MS, et al. Leptin produced by joint white adipose tissue induces cartilage degradation via upregulation and activation of matrix metalloproteinases[J]. *Ann Rheum Dis*, 2012, 71(3): 455-462.
- [16] Schindler OS. Current concepts of articular cartilage repair[J]. *Acta Orthop Belg*, 2011, 77(6): 709-726.
- [17] Karsdal MA, Madsen SH, Christiansen C, et al. Cartilage degradation is fully reversible in the presence of aggrecanase but not matrix metalloproteinase activity[J]. *Arthritis Res Ther*, 2008, 10(3): R63.
- [18] Thijssen E, Caam A, Kraan PM. Obesity and osteoarthritis, more than just wear and tear: pivotal roles for inflamed adipose tissue and dyslipidaemia in obesity-induced osteoarthritis [J]. *Rheumatology (Oxford)*, 2015, 54(4): 588-600.
- [19] Zhuo Q, Yang W, Chen J, et al. Metabolic syndrome meets osteoarthritis[J]. *Nat Rev Rheumatol*, 2012, 8(12): 729-737.
- [20] Collins KH, Reimer RA, Seerattan RA, et al. Using diet-induced obesity to understand a metabolic subtype of osteoarthritis in rats [J]. *Osteoarthritis Cartilage*, 2015, 23(6): 957-965.
- [21] Louer CR, Furman BD, Huebner JL, et al. Diet-induced obesity significantly increases the severity of posttraumatic arthritis in mice[J]. *Arthritis Rheum*, 2012, 64(10): 3220-3230.
- [22] Iwata M, Ochi H, Hara Y, et al. Initial responses of articular tissues in a murine high-fat diet-induced osteoarthritis model: pivotal role of the IPFP as a cytokine fountain[J]. *PLoS One*, 2013, 8(4): e60706. doi: 10.1371/journal.pone.0060706. Print 2013.
- [23] Richter M, Trzeciak T, Owecki M, et al. The role of adipocytokines in the pathogenesis of knee joint osteoarthritis[J]. *Int Orthop*, 2015, 39(6): 1211-1217.
- [24] Burrage PS, Mix KS, Brinckerhoff CE. Matrix metalloproteinases: role in arthritis[J]. *Front Biosci*, 2006, 11: 529-543.
- [25] Simopoulou T, Malizos KN, Iliopoulos D, et al. Differential expression of leptin and leptin's receptor isoform (Ob-Rb) mRNA between advanced and minimally affected osteoarthritic cartilage: effect on cartilage metabolism[J]. *Osteoarthritis Cartilage*, 2007, 15(8): 872-883.
- [26] Klein-Wieringa IR, Kloppenburg M, Bastiaansen-Jenniskens YM, et al. The infrapatellar fat pad of patients with osteoarthritis has an inflammatory phenotype[J]. *Ann Rheum Dis*, 2011, 70(5): 851-857.
- [27] Duran S, Aksahin E, Kocadal O, et al. Effects of body mass index, infrapatellar fat pad volume and age on patellar cartilage defect[J]. *Acta Orthop Belg*, 2015, 81(1): 41-46.
- [28] Chuckpaiwong B, Charles HC, Kraus VB, et al. Age-associated increases in the size of the infrapatellar fat pad in knee osteoarthritis as measured by 3T MRI[J]. *J Orthop Res*, 2010, 28(9): 1149-1154.
- [29] Jedrzejczyk T, Mikusek J, Rudnicki P, et al. The infrapatellar adipose body in humans of various age groups[J]. *Folia Morphol (Warsz)*, 1996, 55(1): 51-55.
- [30] Conde J, Scotece M, Abella V, et al. Identification of novel adipokines in the joint. Differential expression in healthy and osteoarthritis tissues[J]. *PLoS One*, 2015, 10(4): e123601.
- [31] Conde J, Scotece M, Lopez V, et al. Differential expression of adipokines in infrapatellar fat pad (IPFP) and synovium of osteoarthritis patients and healthy individuals[J]. *Ann Rheum Dis*, 2014, 73(3): 631-633.
- [32] Bastiaansen-Jenniskens YM, Clockaerts S, Feijt C, et al. Infrapatellar fat pad of patients with end-stage osteoarthritis inhibits catabolic mediators in cartilage[J]. *Ann Rheum Dis*, 2012, 71(2): 288-294.
- [33] Gandhi R, Takahashi M, Virtanen C, et al. Microarray analysis of the infrapatellar fat pad in knee osteoarthritis: relationship with joint inflammation[J]. *J Rheumatol*, 2011, 38(9): 1966-1972.